

УДК 538.913

© 1990

## СВЯЗАННЫЕ ЧЕТЫРЕХФОНОННЫЕ КОМПЛЕКСЫ ТИПА «БИФОНОННОЙ МОЛЕКУЛЫ» (КВАРТАФОНОНЫ)

*B. M. Агранович, O. A. Дубовский, A. B. Орлов*

Исследован спектр ангармонических оптических колебаний (например, атома водорода в гидридах металлов, радикалов в ионных кристаллах и т. д.) в области четвертого обертона. Показано, что вследствие ангармонизма колебаний взаимодействие фононов в 1-, 2-, 3-мерных кристаллах приводит к образованию связанных четырехфононных комплексов — квартафононов — в основном и возбужденном состояниях. Определено положение термов этих связанных комплексов относительно полос диссоциированных четырехфононных состояний в спектре колебаний. Изолированный терм возбужденного четырехфононного комплекса отщепляется от высокочастотного края полосы диссоциированных состояний свободный бифонон+свободный бифонон. Физический смысл возбужденного состояния этого типа определяется из вида найденной волновой функции: при сильном ангармонизме он отвечает локализации двух связанных пар фононов (квазифононов) на ближайших узлах решетки, но не на одном и том же узле, поскольку в этом последнем случае волновая функция тождественно равна нулю. Для таких связанных состояний типа «бифононной молекулы» найдена зависимость термов и волновых функций от константы ангармонизма. Развитая теория квартафононов и ранее развитые теории бифононов и трифононов могут быть использованы для расшифровки экспериментально наблюдаемой тонкой структуры спектров многофононных колебаний в области 2-го, 3-го, 4-го обертона и выше, где эти комплексы могут проявляться в различных комбинациях.

Во многих кристаллах (например, в гидридах металлов, в ионных и молекулярных кристаллах) ангармонизм колебаний кристаллической решетки приводит к образованию связанных многофононных комплексов из двух, трех и более оптических фононов. Таким связанным многофононным состояниям в наблюдаемых спектрах рассеяния нейтронов, фотонов и электронов отвечают отдельные линии или полосы, расположенные вне континуума частот несвязанных диссоциированных многофононных состояний. Обзоры как теоретических, так и экспериментальных исследований бифононных и трифононных колебаний в этой области можно найти в [1-3]. Однако последние экспериментальные исследования многофононных колебаний, например водорода и дейтерия в металлах, методами нейтронной, электронной и оптической спектроскопии [4-8] делают актуальным дальнейшее изучение тонкой структуры спектров многофононных колебаний.

Напомним, что при достаточно сильном ангармонизме в области второго тона оптических колебаний (например, в молекулярных кристаллах с одной молекулой в элементарной ячейке) существует только одна зона бифононов (с энергией  $E \approx 2E_0 - 2A$ , где  $E_0$  — энергия кванта оптических колебаний изолированной молекулы,  $A$  — энергия ангармонического взаимодействия одночастичных возбуждений). В то же время, как показано в [9], связанные трехфононные комплексы (трифононы) даже в такого рода простейших кристаллах могут уже существовать как в основном состоянии ( $E \approx 3E_0 - 6A$ ), так и в возбужденных состояниях ( $E \approx 3E_0 - 2A$ ). Хотя мультимодовый спектр связанных трехфононных колебаний типа найденных в [9], по-видимому, наблюдался в кристалле  $\text{NH}_4\text{Br}$  методом

рассеяния медленных нейтронов [7], дальнейшие экспериментальные исследования в этом направлении являются весьма актуальными.

Существенно, что экспериментальные исследования уже давно не ограничиваются областью 2-го и 3-го тона. Например, в [5] методом рассеяния медленных нейтронов в гидридах ванадия, ниобия, титана и tantalа наблюдались обертоны колебаний водорода 2-го, 3-го, 4-го и 5-го порядков. В [8] методом рассеяния медленных нейтронов в гидриде ванадия  $\beta\text{-V}_2\text{H}$  наблюдались обертоны колебаний водорода вплоть до 14-го порядка. Поэтому становится оправданным дальнейший детальный анализ спектров многофононных комплексов более высокого порядка, более сложных, чем те, которые были изучены ранее в [1-3, 9].

В настоящей работе с использованием ранее развитой нами теории [1-3, 9] изучен спектр четырехфононных состояний. Показано, что связанные четырехфононные комплексы существуют как в основном состоянии с энергией  $E \approx 4E_0 - 12A$  (при сильном ангармонизме), так и в возбужденном состоянии с энергией  $E \approx 4E_0 - 4A$ . Изолированный терм связанных состояний четырехфононного комплекса расположен вблизи высокочастотного края полосы диссоциированных состояний свободный бифонон + свободный бифонон. Найдена зависимость энергии возбужденного комплекса от константы ангармонизма  $A$ . Физический смысл возбужденных состояний этого типа определяется из вида найденных волновых функций: при сильном ангармонизме ( $A > T$ , где  $T$  — полуширина однофононной зоны) он отвечает локализации двух связанных пар оптических фононов четырехфононного комплекса на ближайших узлах решетки, но не на одном и том же узле (в этом случае волновая функция равна нулю). Таким образом, указанное состояние имеет структуру «бифононной молекулы» (БФМ). Изучен спектр связанных четырехфононных комплексов типа БФМ в одномерных, двумерных и трехмерных кристаллах (на принципиальную возможность существования состояний типа БФМ в одномерных кристаллах указывалось в [10]).

Расчеты в этой сложной задаче уже не трех, а четырех тел — четырех элементарных возбуждений в кристалле — проводились одновременно в двух направлениях: аналитически там, где это в пределах возможности теории — при сильном ангармонизме колебаний ( $A > T$ ), и численно, с решением на ЭВМ полученного ниже основного уравнения во всем интервале значений константы ангармонизма  $A$ , в том числе и при  $A \approx T$ . Аналитические и численные расчеты удовлетворительно согласуются, дают представление о всем спектре четырехфононных колебаний в ангармонических кристаллах, включающем термы связанных возбужденных четырехфононных комплексов типа БФМ. Эти расчеты могут быть использованы для расшифровки экспериментально наблюдаемой тонкой структуры спектров многофононных колебаний в области до 4-го обертона и выше.

## 1. Общая схема расчетов

При учете внутримолекулярного ангармонизма 3-го, 4-го порядка модельный гамильтониан  $\hat{H}$  молекулярного кристалла в представлении вторичного квантования имеет следующий вид [1-3]:

$$\hat{H} = \sum_n E_0 \hat{B}_n^+ \hat{B}_n + \sum_{n \neq m} V_{nm} \hat{B}_n^+ \hat{B}_m - A \sum_n (\hat{B}_n^+)^2 (\hat{B}_n)^2, \quad (1)$$

где  $E_0$  — квант энергии собственных колебаний изолированной молекулы;  $\hat{B}_n^+$ ,  $\hat{B}_n$  — Бозе-операторы рождения, уничтожения колебательных возбуждений в узле  $n$ ;  $V_{nm}$  — энергия межмолекулярного взаимодействия, определяющая перенос возбуждения;  $A > 0$  — константа ангармонизма, определяющая взаимодействие возбуждений (учет трехчастичного взаимодействия см. в [3]).

Решение уравнения Шредингера  $\hat{H} |4\rangle = E |4\rangle$  для четырехфононных состояний  $|4\rangle$  с энергией  $E$  ищется в виде

$$|4\rangle = \sum_{nmpq} \Psi_{nmpq} \hat{B}_n^+ \hat{B}_m^+ \hat{B}_p^+ \hat{B}_q^+ |0\rangle. \quad (2)$$

Подстановка (2) в уравнение Шредингера с использованием коммутационных соотношений для Бозе-операторов  $\hat{B}_n^+$ ,  $\hat{B}_n$  позволяет сформулировать следующую систему уравнений для функций  $\Psi_{nmpq}$ :

$$\begin{aligned} [E - 4E_0 + 2A(\delta_{nm} + \delta_{mp} + \delta_{pq} + \delta_{np} + \delta_{mq} + \delta_{nq})] \Psi_{nmpq} = \\ = \sum_t (V_{nt} \Psi_{tmpq} + V_{mt} \Psi_{ntpq} + V_{pt} \Psi_{nmtq} + V_{qt} \Psi_{nmpq}). \end{aligned} \quad (3)$$

Перейдем в (3) к Фурье-представлению для функций  $\Psi_{nmpq}$

$$\Psi_{nmpq} = \sum_{k_1 k_2 k_3 k_4} \tilde{\Psi}_{k_1 k_2 k_3 k_4} \exp[i(k_1 n + k_2 m + k_3 p + k_4 q)]. \quad (4)$$

В результате получаем следующую систему уравнений для  $\tilde{\Psi}_{k_1 k_2 k_3 k_4}$ :

$$\begin{aligned} \tilde{\Psi}_{k_1 k_2 k_3 k_4} + 2AG_{k_1 k_2 k_3 k_4}(E) \frac{1}{N} \sum_q (\tilde{\Psi}_{k_1+q, k_2-q, k_3, k_4} + \tilde{\Psi}_{k_1+q, k_2, k_3-q, k_4} + \\ + \tilde{\Psi}_{k_1+q, k_2, k_3, k_4-q} + \tilde{\Psi}_{k_1, k_2+q, k_3-q, k_4} + \tilde{\Psi}_{k_1, k_2+q, k_3, k_4-q} + \tilde{\Psi}_{k_1, k_2, k_3+q, k_4-q}) = 0, \end{aligned} \quad (5)$$

где функция Грина  $G_{k_1 k_2 k_3 k_4}(E)$  связана с энергией однофононных колебаний  $E_k$  соотношением

$$\begin{aligned} G_{k_1 k_2 k_3 k_4}(E) = (E - E_{k_1} - E_{k_2} - E_{k_3} - E_{k_4})^{-1}, \\ E_k = E_0 + \sum_{n \neq m} V_{nm} \exp[ik(n-m)], \end{aligned} \quad (6)$$

$N$  — число молекул в основном объеме.

Как это видно из уравнения (5), состояния кристалла с четырьмя фононами вследствие трансляционной инвариантности классифицируются по полному волновому вектору  $K = k_1 + k_2 + k_3 + k_4$ . В дальнейшем величина  $K$  считается фиксированной.

Из (5) следует, что для нахождения волновых функций  $\tilde{\Psi}_{k_1 k_2 k_3 k_4}$  необходимо знать их линейные суперпозиции

$$S_{k_1 k_2} = \sum_{k_3} \tilde{\Psi}_{k_1, k_2, k_3, K-k_1-k_2-k_3}. \quad (7)$$

После некоторых выкладок из (5) для функций  $S_{k_1 k_2}$  получаем интегральное уравнение

$$\begin{aligned} S_{k_1 k_2} \left[ \frac{1}{2A} + \frac{1}{N} \sum_{k_3} G_{k_1, k_2, k_3, K-k_1-k_2-k_3}(E) \right] + \frac{1}{N} \sum_{k_3} G_{k_1, k_2, k_3, K-k_1-k_2-k_3}(E) \times \\ \times (S_{k_1 k_3} + S_{k_2 k_3} + S_{k_1, K-k_1-k_2-k_3} + S_{k_2, K-k_1-k_2-k_3} + S_{k_3, K-k_1-k_2-k_3}) = 0. \end{aligned} \quad (8)$$

Это уравнение является обобщением соответствующего уравнения Мэттиса, полученного для трехчастичных связанных состояний [9].

Из общего вида ядра интегрального уравнения (8) следует, что в спектре четырехфононных состояний наряду с полосой  $P+P+P+P$  (полюса  $G$ ) и термом основного состояния ( $E \approx 4E_0 - 12A$ ,  $A \gg T$ ,  $V \rightarrow 0$ ) присутствуют полосы различного рода состояний, обусловленные в разной степени наличием ангармонизма. Например, в спектре имеется полоса бифонон  $+$  два свободных фона (BP + 2P) с энергией колебаний  $E = \bar{E}(k_1, k_2) = E^{BP}(K - k_1 - k_2) + E_{k_1} + E_{k_2}$ , где  $E^{BP}(K - k_1 - k_2)$  — энергия бифонона с волновым вектором  $K - k_1 - k_2$ , определяемая из уравнения [1-3]

$$1 + 2A \frac{1}{N} \sum_{k_3} G_{k_1, k_2, k_3, K-k_1-k_2-k_3}(E) = 0. \quad (9)$$

Как и в работах [9, 10], будем учитывать взаимодействие только ближайших соседей, т. е. будем полагать, что  $V_{nm} = -V\delta_{n,m+1}$ ,  $V > 0$ , где  $\mathbf{l}$  — единичные векторы, направленные из узла  $m$  в ближайшие узлы решетки. Для одномерного кристалла в этом случае энергия однофононных колебаний  $E_k = E_0 - 2V \cos(ka)$ , где  $a$  — постоянная кристалла, и точное решение (9) дает следующую дисперсионную зависимость для энергии  $E^{bp}(\mathbf{K} - \mathbf{k}_1 - \mathbf{k}_2)$  бифонона с волновым вектором  $\tilde{\mathbf{K}} = \mathbf{K} - \mathbf{k}_1 - \mathbf{k}_2$ :

$$E^{bp}(\tilde{\mathbf{K}}) = 2E_0 - \sqrt{(2A)^2 + (2T)^2 \cos^2(\tilde{\mathbf{K}}a/2)}, \quad T \equiv 2V. \quad (10)$$

В двумерном кристалле с квадратной решеткой энергия однофононных колебаний  $E_{\mathbf{k}} = E_0 - 2V [\cos(k^{(1)}a) + \cos(k^{(2)}a)]$ , где  $k^{(1), 2}$  — декартовы компоненты волнового вектора  $\mathbf{k}$ , и уравнение (9) после интегрирования в левой части может быть представлено в следующем виде [11]:

$$\begin{aligned} 1 - 2A \frac{2}{\pi} \left[ E^2 - T^2 \left( \cos\left(\frac{\tilde{\mathbf{K}}^{(1)}a}{2}\right) - \cos\left(\frac{\tilde{\mathbf{K}}^{(2)}a}{2}\right) \right)^2 \right]^{1/2} \times \\ \times F\left(\frac{\pi}{2}, 2T \left[ \frac{\cos(\tilde{\mathbf{K}}^{(1)}a/2) \cos(\tilde{\mathbf{K}}^{(2)}a/2)}{E^2 - T^2 (\cos(\tilde{\mathbf{K}}^{(1)}a/2) - \cos(\tilde{\mathbf{K}}^{(2)}a/2))^2} \right]^{1/2}\right) = 0, \end{aligned} \quad (11)$$

$T \equiv 4V$ ;  $F$  — полный эллиптический интеграл первого рода. Решение (11) непосредственно дает обратную дисперсионную зависимость  $A = A(E, \tilde{\mathbf{K}})$ , из которой без труда может быть восстановлена и прямая дисперсионная зависимость  $E = E(\tilde{\mathbf{K}}, A)$ . Для трехмерного кристалла аналитическое точное решение уравнения (9) получить затруднительно, однако приближенные полуфеноменологические методы и прямые численные расчеты позволяют достаточно точно определить общие особенности спектра бифононов и в трехмерных кристаллах.

Из (10) для одномерных кристаллов, из (11) для двумерных кристаллов и из анализа (9) для трехмерных кристаллов видно, что высокочастотный край бифононной зоны отвечает волновому вектору  $\tilde{\mathbf{K}} = \pi/a$  для одномерного кристалла,  $\tilde{\mathbf{K}}^{(1, 2)} = \pi/a$  для двумерного кристалла и  $\tilde{\mathbf{K}}^{(1, 2, 3)} = \pi/a$  для трехмерного кубического кристалла. Энергия этих состояний  $E^{bp} = -2E_0 - 2A$ . Низкочастотный край бифононной зоны отвечает волновому вектору  $\tilde{\mathbf{K}} = 0$  и, например, для одномерного кристалла равен  $E^{bp} = 2E_0 - \sqrt{(2A)^2 + (2T)^2}$ . Ширина бифононной зоны в соответствии с (9) — (11) при сильном ангармонизме  $\sim T^2/A$  [1-3].

Из более детального анализа уравнения (9) следует, что в спектре четырехфононных состояний присутствует также зона диссоциированных состояний бифонон + бифонон ( $BP + BP$ ) с энергией  $E^{bp}(\mathbf{k}_1) + E^{bp}(\mathbf{k}_2)$ , где  $\mathbf{k}_1, \mathbf{k}_2$  — волновые векторы бифононов. Высокочастотный край этой полосы  $E = 4E_0 - 4A$  отвечает энергии двух свободных бифононов с волновыми векторами  $k_i^{(j)} = \pi/a$ , где  $i = 1, 2$  — номер вектора,  $j$  — декартова компонента вектора, т. е. с суммарным волновым вектором  $\mathbf{K} = \mathbf{k}_1 + \mathbf{k}_2 = 0$ .

Будем и в дальнейшем считать выполненным это условие  $\mathbf{K} = 0$ , т. е. будем искать связанные четырехфононные комплексы с нулевым полным волновым вектором. Именно такого рода состояния должны, как известно, прежде всего проявляться в оптических спектрах.

## 2. Решение уравнения (8) при $T/A < 1$

Последующий анализ и непосредственное численное решение системы уравнений (8) показывают (см. ниже), что выше высокочастотного края  $BP + BP$  полосы находится изолированный терм связанных четырехфононных комплексов нового типа (БФМ). Поскольку в данной сложной проблеме четырех тел — четырех элементарных возбуждений в кристалле — точное аналитическое решение системы уравнений (8) неизвестно (так же как и для более простой проблемы трех тел), будем искать решения для

случая сильного ангармонизма, т. е. при  $A > T$ . При этом решения уравнения (8) будем искать в рамках уже использованной нами ранее процедуры [3]. Именно мы будем считать фиксированным значение энергии  $E$ , и для этого значения  $E$  мы будем находить такие значения константы ангармонизма  $A = A(E)$ , при которых система уравнений (8) имеет нетривиальное решение. Ясно, что такой подход эквивалентен обычному, однако в данной конкретной ситуации технически он оказывается более простым. Вместо величины  $A$  и  $E$  удобно ввести функцию  $L = \frac{1}{2}A$  и величину энергии связи  $\varepsilon = |E - 4E_0|$  и искать  $L = L(\varepsilon)$  в области  $\varepsilon \geq 2V$  для состояний БФМ в виде разложения

$$L(\varepsilon) = \frac{2}{\varepsilon} - \delta_1 \frac{\mu}{\varepsilon} - \delta_2 \frac{\mu^2}{\varepsilon}, \quad \mu \equiv \frac{2V}{\varepsilon}. \quad (12)$$

В (12) величина  $L^{(0)}(\varepsilon) = 2/\varepsilon$  отвечает высокочастотной границе полосы  $BP + BP$ , а безразмерные величины  $\delta_1$  и  $\delta_2$  определяют величину отщепления термов БФМ от этой границы  $BP + BP$  полосы в первом и втором приближении по параметру  $\mu = 2V/\varepsilon < 1$ . Волновые функции  $S_{k_1 k_2}$ , ищутся соответственно в виде

$$S_{k_1 k_2} = S_{k_1 k_2}^{(0)} + \mu S_{k_1 k_2}^{(1)} + \mu^2 S_{k_1 k_2}^{(2)}. \quad (13)$$

Как это следует из (8), в низшем нулевом по  $\mu$  приближении имеем следующее интегральное уравнение для функций  $S_{k_1 k_2}^{(0)}$  нулевого приближения:

$$S_{k_1 k_2}^{(0)} = \frac{1}{N} \sum_{k_3} (S_{k_1 k_3}^{(0)} + S_{k_2 k_3}^{(0)} + S_{k_1 -k_1 -k_2 -k_3}^{(0)} + S_{k_2 -k_1 -k_2 -k_3}^{(0)} + S_{k_3 -k_1 -k_2 -k_3}^{(0)}). \quad (14)$$

Суммируя по одному из индексов в (14), находим, что, во-первых, функции нулевого приближения  $S_{k_1 k_2}^{(0)}$ , зависят только от суммы волновых векторов  $k = k_1 + k_2$ , т. е.  $S_{k_1 k_2}^{(0)} = S_{k_1 + k_2}^{(0)}$ , и, во-вторых, эти функции удовлетворяют следующему уравнению:

$$\sum_k S_k^{(0)} = 0. \quad (15)$$

Выделяя в уравнении (8) линейные по  $\mu$  члены, находим, что функции нулевого приближения  $S_{k_1 + k_2}^{(0)}$ , первого приближения  $S_{k_1 + k_2}^{(1)}$  и величина  $\delta_1$  связаны уравнением

$$\begin{aligned} S_{k_1 + k_2}^{(0)} & \left[ -\delta_1 - 2 \sum_i (\cos(k_1^{(i)} a) + \cos(k_2^{(i)} a)) \right] + S_{k_1 k_2}^{(1)} = \\ & = 4C^{(0)} \sum_i (\cos(k_1^{(i)} a) + \cos(k_2^{(i)} a)) + \\ & + \frac{1}{N} \sum_{k_3} (S_{k_1 k_3}^{(1)} + S_{k_2 k_3}^{(1)} + S_{k_1 -k_1 -k_2 -k_3}^{(1)} + S_{k_2 -k_1 -k_2 -k_3}^{(1)} + S_{k_3 -k_1 -k_2 -k_3}^{(1)}), \\ C^{(0)} & \equiv \frac{1}{N} \sum_k \cos(k^{(i)} a) S_k^{(0)}. \end{aligned} \quad (16)$$

Суммируя (16) по  $k_1$  при условии  $k_2 = k - k_1$ , находим, что должны выполняться следующие соотношения между функциями  $S_k^{(0)}$ ,  $S_{k_1 k_2}^{(1)}$  и величиной  $\delta_1$ :

$$-S_k^{(0)} \delta_1 + \frac{1}{N} \sum_{k_1} S_{k_1 -k -k_1}^{(1)} = 4T^{(1)} + \frac{1}{N} \sum_{k_3} S_{k_3 -k -k_3}^{(1)}, \quad (17)$$

где не зависящая от волновых векторов константа  $T^{(1)}$  равна

$$T^{(1)} = \frac{1}{N^2} \sum_{\tilde{k}_1 \tilde{k}_2} S_{\tilde{k}_1 \tilde{k}_2}^{(1)}. \quad (18)$$

Поскольку волновые функции  $S$  БФМ при  $\mathbf{K}=0$  симметричны в пространстве волновых векторов, вторые члены в левой и правой частях (17) тождественно сокращаются. Поэтому после суммирования по  $\mathbf{k}$  при учете (15) находим, что величина  $T^{(1)}$  тождественно равна нулю  $T^{(1)}=0$  и, следовательно, линейное по  $\mu$  отщепление терма БФМ от высокочастотного края  $BP + BP$  полосы также тождественно равно нулю (см. (17)), поскольку

$$\delta_1 = 0. \quad (19)$$

Для определения величины  $\delta_2$  предварительно установим некоторые функциональные соотношения для  $S_{\mathbf{k}_1 \mathbf{k}_2}^{(1)}$ . Суммируя по  $\mathbf{k}_2$  в (16), находим соотношение между интегральными величинами нулевого и первого порядков

$$\frac{1}{N} \sum_{\mathbf{k}_3} S_{\mathbf{k}_1 \mathbf{k}_3}^{(1)} = -6C^{(0)} \sum_i \cos(\mathbf{k}_1^{(i)} a). \quad (20)$$

Подстановка (20) в (16) приводит к следующему представлению функции первого приближения  $S_{\mathbf{k}_1 \mathbf{k}_2}^{(1)}$ :

$$S_{\mathbf{k}_1 \mathbf{k}_2}^{(1)} = 2 \left[ \sum_i (\cos(\mathbf{k}_1^{(i)} a) + \cos(\mathbf{k}_2^{(i)} a)) \right] (S_{\mathbf{k}_1 + \mathbf{k}_2}^{(0)} - 4C^{(0)}) + \Phi_{\mathbf{k}_1 + \mathbf{k}_2}^{(1)}, \quad (21)$$

где функция  $\Phi_{\mathbf{k}}^{(1)}$  имеет вид

$$\Phi_{\mathbf{k}}^{(1)} = \frac{1}{N} \sum_{\mathbf{k}_3} S_{\mathbf{k}_3, \mathbf{k} - \mathbf{k}_3}^{(1)}.$$

Перейдем теперь к определению величины  $\delta_2$ . Сравнивая члены второго порядка в уравнении (8), находим следующее соотношение, связывающее функции  $S_{\mathbf{k}_1 + \mathbf{k}_2}^{(0)}$ ,  $S_{\mathbf{k}_1, \mathbf{k}_2}^{(1)}$ ,  $S_{\mathbf{k}_1, \mathbf{k}_2}^{(2)}$  и величину  $\delta_2$ :

$$\begin{aligned} & S_{\mathbf{k}_1 + \mathbf{k}_2}^{(0)} \left\{ -\delta_2 - \left[ \left( \sum_i (\cos(\mathbf{k}_1^{(i)} a) + \cos(\mathbf{k}_2^{(i)} a)) \right)^2 + \gamma_{\mathbf{k}_1 + \mathbf{k}_2} \right] \right\} - \\ & - S_{\mathbf{k}_1 \mathbf{k}_2}^{(1)} \sum_i (\cos(\mathbf{k}_1^{(i)} a) + \cos(\mathbf{k}_2^{(i)} a)) + S_{\mathbf{k}_1 \mathbf{k}_2}^{(2)} = \\ & = \frac{1}{N} \sum_{\mathbf{k}_3} (W_{\mathbf{k}, \mathbf{k}_2 \mathbf{k}_3}^2 \tilde{S}_{\mathbf{k}, \mathbf{k}_2 \mathbf{k}_3}^{(0)} + W_{\mathbf{k}_1 \mathbf{k}_2 \mathbf{k}_3} \tilde{S}_{\mathbf{k}_1 \mathbf{k}_2 \mathbf{k}_3}^{(1)} + \tilde{S}_{\mathbf{k}_1 \mathbf{k}_2 \mathbf{k}_3}^{(2)}), \end{aligned} \quad (22)$$

где функции  $\gamma_{\mathbf{k}}$ ,  $W_{\mathbf{k}_1 \mathbf{k}_2 \mathbf{k}_3}$ ,  $\tilde{S}_{\mathbf{k}_1 \mathbf{k}_2 \mathbf{k}_3}^{(j)}$  определены следующим образом:

$$\gamma_{\mathbf{k}} = \sum_i [1 + \cos(\mathbf{k}^{(i)} a)],$$

$$W_{\mathbf{k}_1 \mathbf{k}_2 \mathbf{k}_3} = \sum_i [\cos(\mathbf{k}_1^{(i)} a) + \cos(\mathbf{k}_2^{(i)} a) + \cos(\mathbf{k}_3^{(i)} a) + \cos((\mathbf{k}_1^{(i)} + \mathbf{k}_2^{(i)} + \mathbf{k}_3^{(i)}) a)],$$

$$\tilde{S}_{\mathbf{k}_1 \mathbf{k}_2 \mathbf{k}_3}^{(j)} = S_{\mathbf{k}_1 \mathbf{k}_2}^{(j)} + S_{\mathbf{k}_2 \mathbf{k}_3}^{(j)} + S_{\mathbf{k}_1 - \mathbf{k}_1 - \mathbf{k}_2 - \mathbf{k}_3}^{(j)} + S_{\mathbf{k}_2 - \mathbf{k}_1 - \mathbf{k}_2 - \mathbf{k}_3}^{(j)} + S_{\mathbf{k}_3 - \mathbf{k}_1 - \mathbf{k}_2 - \mathbf{k}_3}^{(j)}. \quad (23)$$

Подстановка (20), (21) в (23) приводит к следующему уравнению, связывающему функции  $S_{\mathbf{k}_1, \mathbf{k}_2}^{(2)}$ ,  $S_{\mathbf{k}_1 + \mathbf{k}_2}^{(0)}$ , величину  $\delta_2$  и соответствующие интегральные по  $\mathbf{k}$  члены:

$$\begin{aligned} & S_{\mathbf{k}_1 + \mathbf{k}_2}^{(0)} \left\{ -\delta_2 - 4 \left[ \left( \sum_i \xi_{\mathbf{k}_1 \mathbf{k}_2}^{(i)} \right)^2 + \gamma_{\mathbf{k}_1 + \mathbf{k}_2} \right] \right\} + S_{\mathbf{k}_1 \mathbf{k}_2}^{(2)} = 2 \left( \sum_i \xi_{\mathbf{k}_1 \mathbf{k}_2}^{(i)} \right) (\Phi_{\mathbf{k}_1 + \mathbf{k}_2}^{(1)} + 2Z^{(1)}) + \\ & + 16P^{(0)} \left\{ \sum_i [(\cos^2(\mathbf{k}_1^{(i)} a) + \cos^2(\mathbf{k}_2^{(i)} a)) - 1] + \sum_i \cos((\mathbf{k}_1^{(i)} - \mathbf{k}_2^{(i)}) a) \right\} - \\ & - 8C^{(0)} \left[ \sum_i (\xi_{\mathbf{k}_1 \mathbf{k}_2}^{(i)})^2 + 3\gamma_{\mathbf{k}_1 + \mathbf{k}_2} \right] + \frac{1}{N} \sum_{\mathbf{k}_3} \tilde{S}_{\mathbf{k}_1 \mathbf{k}_2 \mathbf{k}_3}^{(2)} + 16R^{(0)} \sum_{i_1 \neq i_2} \xi_{\mathbf{k}_1 \mathbf{k}_2}^{(i_1)} \xi_{\mathbf{k}_1 \mathbf{k}_2}^{(i_2)}, \\ & \xi_{\mathbf{k}_1 \mathbf{k}_2}^{(i)} \equiv \cos(\mathbf{k}_1^{(i)} a) + \cos(\mathbf{k}_2^{(i)} a), \end{aligned} \quad (24)$$

где интегральные по  $k$  величины  $Z^{(1)}$ ,  $P^{(0)}$ ,  $R^{(0)}$  имеют представление

$$\begin{aligned} Z^{(1)} &= \frac{1}{N} \sum_{\mathbf{k}} \cos(k^{(i)}a) \Phi_{\mathbf{k}}^{(1)}, \quad P^{(0)} = \frac{1}{N} \sum_{\mathbf{k}} \cos^2(k^{(i)}a) S_{\mathbf{k}}^{(0)}, \\ R^{(0)} &= \frac{1}{N} \sum_{\mathbf{k}} \cos(k^{(i)}a) \cos(k^{(j)}a) S_{\mathbf{k}}^{(0)}, \quad i \neq j. \end{aligned} \quad (25)$$

Отметим, что последний член в правой части (24) с недиагональными по координатам слагаемыми ( $i_1 \neq i_2$ ) отсутствует для одномерного кристалла. Суммируя по  $\mathbf{k}_1$  в (24) при условии  $\mathbf{k}_2 = \mathbf{k} - \mathbf{k}_1$ , находим, что функция  $S_{\mathbf{k}}^{(0)}$ , величина  $\delta_2$  и константа  $C^{(0)}$  связаны следующим соотношением:

$$S_{\mathbf{k}}^{(0)}(-\delta_2 - 8\gamma_{\mathbf{k}}) = -32C^{(0)}\gamma_{\mathbf{k}} + 4T^{(2)}, \quad (26)$$

где константа  $T^{(2)}$  определена соотношением

$$T^{(2)} = \frac{1}{N^2} \sum_{\tilde{\mathbf{k}}, \tilde{\mathbf{k}}_2} S_{\tilde{\mathbf{k}}, \tilde{\mathbf{k}}_2}^{(2)}.$$

Из соотношения (26) непосредственно определяется вид функциональной зависимости  $S_{\mathbf{k}}^{(0)}$

$$S_{\mathbf{k}}^{(0)} = 4C^{(0)} - \frac{1}{2}(C^{(0)}\delta_2 + T^{(2)}) \left[ \sum_i (1 + \cos(k^{(i)}a)) \right]^{-1}. \quad (27)$$

Константа  $C^{(0)}$ , определяющая вид функциональной зависимости  $S_{\mathbf{k}}^{(0)}$ , непосредственно связана с  $S_{\mathbf{k}}^{(0)}$  соотношением (16) и может быть определена подстановкой (27) в (16). В результате находим, что величина  $C^{(0)}$  может быть представлена следующим образом:

$$C^{(0)} = -\frac{T^{(2)}}{2d} \frac{1 - \Delta \tilde{W}(\Delta)}{1 + (\delta_2/2d)[1 - \Delta \tilde{W}(\Delta)]}, \quad (28)$$

где величина  $\Delta$  определяется отщеплением  $\delta^2$  терма БФМ и размерностью кристалла  $d$  ( $d=1, 2, 3$  соответственно для 1-, 2-, 3-мерных кристаллов)

$$\Delta = d + \delta_2/8. \quad (29)$$

В (28)  $\tilde{W}(\Delta)$  является известной в теории колебаний кристаллов с дефектами функцией следующего вида:

$$\tilde{W}(\Delta) = \frac{1}{N} \sum_{\mathbf{k}} \left[ \Delta + \sum_i \cos(k^{(i)}a) \right]^{-1}. \quad (30)$$

Таким образом, соотношениями (27), (28) с точностью до несущественного нормировочного множителя функция нулевого приближения  $S_{\mathbf{k}}^{(0)}$  определена полностью как функция волнового вектора  $\mathbf{k}$  и величины отщепления  $\delta_2$  или  $\Delta$ . Представляющая непосредственный физический интерес величина отщепления  $\delta_2$  определяется подстановкой (27) в исходное интегральное уравнение (15) для функции  $S_{\mathbf{k}}^{(0)}$ . В результате получаем следующее основное уравнение, из которого и определяется величина  $\delta_2 = \delta_2(\Delta)$ :

$$1 = \left( \Delta - \frac{d}{4} \right) \frac{1}{N} \sum_{\mathbf{k}} \left[ \Delta + \sum_i \cos(k^{(i)}a) \right]^{-1}. \quad (31)$$

Решения уравнения (31) уже, естественно, различны для 1-, 2-, 3-мерных кристаллов.

3. Отщепление термов и волновые функции БФМ в 1-, 2-, 3-мерных кристаллах. Численные расчеты

Для одномерных кристаллов, переходя в (31) обычным образом от суммирования по  $k$  к интегрированию, приводим уравнение (31) после интегрирования к виду

$$\Delta - 1/4 = \sqrt{\Delta^2 - 1}.$$

(32)

Решение уравнения (32)  $\Delta = 17/8$  определяет величину отщепления терма БФМ  $\delta_2 = 9$ . Таким образом, волновая функция  $S_k^{(0)}$  с точностью до несущественного нормировочного множителя имеет в соответствии с (27), (28) следующее представление:

$$S_k^{(0)} = \frac{4}{3} - \frac{5}{2} \frac{1}{[(17/8) + \cos(ka)]}. \quad (33)$$

Инвертированная «зависимость» константы ангармонизма  $A(\varepsilon)$  от энергии связи  $\varepsilon$  имеет вид

$$A = A(\varepsilon) = \frac{\varepsilon}{4} + \frac{9}{8} \frac{T^2}{\varepsilon}, \quad T \equiv 2V, \quad (34)$$

а обратная (34) зависимость энергии связи от константы ангармонизма (при сильном ангармонизме) имеет вид

$$\varepsilon = 4A - \frac{9}{8} \frac{T^2}{A}. \quad (35)$$

Для двумерного кристалла интегрирование в (31) также может быть проведено аналитически точно, и в результате получаем следующее уравнение для определения величины  $\Delta$ :

$$\frac{1}{\Delta - (1/2)} = \frac{2}{\pi\Delta} F\left(\frac{\pi}{2}, \frac{2}{\Delta}\right), \quad (36)$$

где  $F$  — полный эллиптический интеграл первого рода. Решение этого уравнения  $\Delta = 2.6$  и соответственно  $\delta_2 = 4.8$ . Волновая функция

$$S_k^{(0)} = 0.23 - 0.5 \frac{1}{[2.6 + \cos(k^{(x)}a) + \cos(k^{(y)}a)]}, \quad (37)$$

и зависимости  $A(\varepsilon)$  и  $\varepsilon(A)$  имеют следующий вид:

$$A = A(\varepsilon) = \frac{\varepsilon}{4} + 0.15 \frac{T^2}{\varepsilon}, \quad \varepsilon(A) = 4A - 0.15 \frac{T^2}{A}, \quad T \equiv 4V. \quad (38)$$

Для трехмерных кристаллов функция  $\tilde{W}(\Delta)$  в (31) точно аналитически не вычисляется. Однако проведенные вычисления значения этой функции в предельном случае  $\Delta = 3$  показали, что это конечная величина  $\tilde{W}(\Delta) = -0.51$ . Отметим, что именно это обстоятельство обуславливает образование примесной зоны в трехмерных кристаллах с изотопическими дефектами в отличие от одномерных и двумерных кристаллов лишь при конечном значении изотопического сдвига. Поскольку предельное значение функции  $1/(\Delta - (d/4))$ , фигурирующей в (31), при  $d = 3$  и  $\Delta = 3$  равно  $4/9$  и меньше, чем  $\tilde{W}(3)$ , а при  $\Delta \rightarrow \infty$  на асимптотике значение этой функции, наоборот, превышает соответствующее значение  $\tilde{W}(\Delta)$ , ясно, что существует решение уравнения (31) и для трехмерного кристалла. Численные расчеты  $\tilde{W}(\Delta)$  на ЭВМ и решение (31) дают  $\Delta = 3.2$  и соответственно  $\delta_2 = 1.6$ . Волновая функция  $S_k^{(0)}$  имеет следующий вид:

$$S_k^{(0)} = 0.18 - 0.5 \frac{1}{[3.2 + \cos(k^{(x)}a) + \cos(k^{(y)}a) + \cos(k^{(z)}a)]}, \quad (39)$$

а зависимости  $A(\varepsilon)$  и  $\varepsilon(A)$  имеют соответственно вид

$$A = A(\varepsilon) = \frac{\varepsilon}{4} + 0.02 \frac{T^2}{\varepsilon}, \quad \varepsilon(A) = 4A - 0.02 \frac{T^2}{A}, \quad T \equiv 6V. \quad (40)$$

Представляет, естественно, интерес и общий вид волновых функций найденных состояний в координатном пространстве, определяющий физический смысл этих состояний. Из соотношений (5) видно, что в случае сильного ангармонизма, который мы здесь рассматриваем, волновые

функции  $\Psi_{nmpq}$  в координатном пространстве определяются следующим образом:

$$\Psi_{nmpq} = \sum_{k_1 k_2 k_3} \exp [i(k_1 n + k_2 m + k_3 p - (k_1 + k_2 + k_3) q)] (S_{k_1+k_2}^{(0)} + S_{k_1+k_3}^{(0)} + S_{k_2+k_3}^{(0)}). \quad (41)$$

Из (41) видно, что пространственная зависимость  $\Psi_{nmpq}$  действительно отвечает «бифононной молекуле», т. е. состоянию, в котором два квазибиофона, находясь на разных узлах, образуют связанный единый четырех-

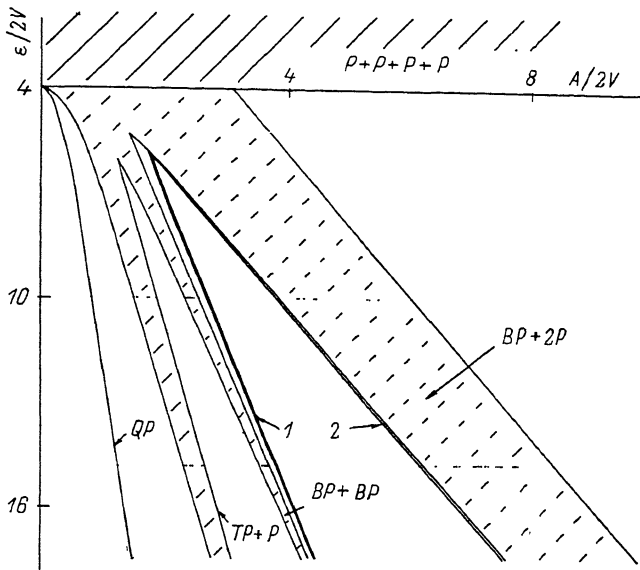


Рис. 1. Зависимость спектра четырехфононных колебаний в одномерном кристалле от константы ангармонизма.

фононный комплекс. В частности, первый член в правой части (41) имеет вид

$$\Psi_{nmpq}^{(1)} = \delta_{nm} \delta_{pq} \varphi_{n-p}. \quad (42)$$

где функция «относительного» движения бифононов в комплексе  $\varphi_r$

$$\varphi_r = \frac{1}{N} \sum_k \exp(ikr) S_k^{(0)}. \quad (43)$$

Первые несколько значений  $\varphi_r = \varphi_{-r}$  могут быть непосредственно вычислены с помощью (33), (37), (39). Так, для одномерного кристалла  $\varphi_0 = 0$ ,  $\varphi_{\pm a} = 2/3$ ,  $\varphi_{\pm 2a} = -1/6$  и т. д. Отметим, что  $\varphi_0 = 0$ , поскольку должно удовлетворяться уравнение (15), при  $r = \pm a$  величина  $\varphi_r$  конечна, и затем при увеличении  $|r|$  эта величина, осциллируя, постепенно уменьшается.

Как указывалось в начале статьи, одновременно нами было предпринято численное решение системы уравнений (8) во всем интервале значений константы ангармонизма  $A$ , в том числе и при  $A \approx T$ . Нами использовались стандартные программы для определения собственных значений (в данном случае величин  $1/2 A$ ; см. (8)) и собственных функций при диагонализации на ЭВМ матриц  $L_{k_1 k_2}^{k_1 k_2}$ , определяемых соотношениями (8). Результаты такого расчета представлены на рис. 1—3. Следует отметить, что с увеличением числа молекул  $N$  катастрофически возрастает порядок матрицы  $L_{k_1 k_2}^{k_1 k_2}$ . Порядок диагонализуемой матрицы может быть несколько понижен при использовании соответствующих условий симметрии. Выполнены расчеты спектра четырехфононных колебаний в одномерной замкнутой кристаллической цепочке с числом узлов  $N=20$  и двумерном кри-

сталле с  $N=16$ . При этом порядок соответствующей диагонализуемой матрицы был равен соответственно  $N_0=210$  и 136. На рис. 1 видно, что спектр четырехфононных колебаний в одномерном кристалле содержит термы основного состояния связанного четырехфононного комплекса

$QP$  ( $E \approx 4E_0 - 12A$ ), полосу состояний трифонон (в основном состоянии) + фонон  $TP+P$  ( $E \approx 4E_0 - 6A$ ), полосу диссоциированных состояний бифонон + + бифонон  $BP+BP$  ( $E \approx 4E_0 - 4A$ ), полосу диссоциированных состояний бифонон + два свободных фонона  $BP+2P$  ( $E \approx 4E_0 - 2A$ ) и, наконец, полосу четырех диссоциированных свободных фононов  $P+P+P+P$  ( $E \approx 4E_0$ ). На рис. 1 вблизи высокочастотного края полосы  $BP+BP$ , сужающейся при увеличении  $A$  в соответствии с (10), отчетливо виден отщепленный терм 1, отвечающий «бифононной молекуле». Функциональная зависимость  $A(\varepsilon)$  для этого терма описывается соотношением (34)

Рис. 2. Волновая функция относительного движения в связанном возбужденном четырехфононном комплексе типа «бифононной молекулы».

при  $A > T$  с высокой точностью. Отметим, что при слабом ангармонизме этот терм (рис. 1) отходит от высокочастотного края  $BP+BP$  полосы и приближается к низкочастотному краю полосы  $BP+2P$ . Отметим также, что вблизи низкочастотного края полосы  $BP+2P$  наблюдаются дискретные

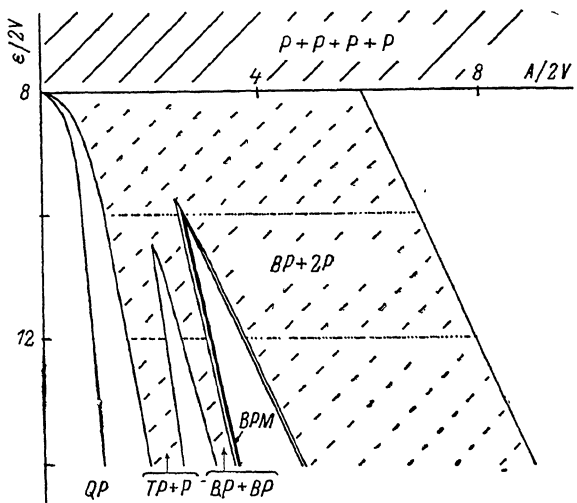


Рис. 3. Зависимость спектра четырехфононных колебаний в двумерном кристалле от константы ангармонизма.

ВФМ — терм связанного возбужденного четырехфононного комплекса типа «бифононной молекулы».

термы 2, отвечающие состояниям возбужденный трифонон + фонон. Более детальные исследования этой области спектра мы предполагаем провести в дальнейшем. Как это видно из рис. 1, внутри полос диссоциированных состояний плотность состояний, о которой можно судить по набору точек — схематически представленным решением (8) при фиксированном  $\varepsilon$  — имеет характерные для одномерных кристаллов сгущения. Отметим также, что вблизи низкочастотного края полосы трифонон (в основном состоянии) + свободный фонон не наблюдается какой-либо локальной особенности типа отщепленного терма [12]. В этой области изменение спектра

четырехфононных состояний монотонно (рис. 1) без видимых признаков образования состояний, отличных от диссоциированных.

На рис. 2 приведена функциональная зависимость  $\varphi$ , для связанного четырехфононного комплекса типа «бифононной молекулы» в одномерном кристалле. Видно, что эффективный радиус этого состояния при сильном ангармонизме составляет несколько постоянных решетки. При уменьшении  $A$ , естественно, этот радиус возрастает. Общий вид волновой функции БФМ, найденный численным решением на ЭВМ по описанному выше алгоритму, вполне согласуется с найденной аналитически зависимостью  $S_k \varphi_r$  (рис. 2).

На рис. 3 представлены результаты расчета спектра четырехфононных состояний в двумерном кристалле. Так же как и в одномерном кристалле, от  $BP+BP$  зоны, сужающейся при увеличении  $A$  в соответствии с (11), отщепляется терм «бифононной молекулы», и это отщепление удовлетворительно описывается при  $A > T$  соотношением (38). Проведенные расчеты спектра четырехфононных состояний в трехмерных кристаллах также подтверждают вывод о существовании отщепленного терма «бифононной молекулы».

Отметим, что изучение спектров связанных многофононных колебаний, в частности трифононов [13], привлекает внимание исследователей в смежных областях, в частности в области многомагнонных состояний [14]. Поэтому представляет интерес дальнейшее изучение возможности существования связанных многочастичных состояний указанного вида и для элементарных возбуждений иного типа (многоэкзитонных, многомагнонных и т. д.).

#### Список литературы

- [1] Agranovich V. M. // Spectroscopy and Excitation Dynamics of Condensed Molecular Systems / Ed. V. M. Agranovich, R. M. Hochstrasser. Amsterdam, North-Holland, 1983. P. 83—175.
- [2] Агранович В. М., Лалов И. И. // УФН. 1986. Т. 146. № 2. С. 267—302.
- [3] Agranovich V. M., Dubovsky O. A. // Optical Properties of Mixed Crystals / Ed. R. J. Elliott, I. P. Ipatova. Amsterdam, North-Holland, 1988. P. 297—398.
- [4] Anderson I. S., Rush J. J., Uvodik T., Rowe J. M. // Phys. Rev. Lett. 1986. V. 57. N 22. P. 2822—2827.
- [5] Ikeda S., Watanabe N. // KEK Preprint. 1986. N 66. 30 p.
- [6] Richter L. J., Germer T. A., Sethna J. P., Ho W. // Phys. Rev. B. 1988. V. 38. N 15. P. 10403—10420.
- [7] Goyal P. S., Penfold S., Tomkinson J. // Chem. Phys. Lett. 1986. V. 127. N 5. P. 483—486.
- [8] Hempelman R., Richter D., Price D. L. // Phys. Rev. Lett. 1987. V. 58. N 10. P. 1016—1019.
- [9] Agranovich V. M., Dubovsky O. A., Orlov A. V. // Phys. Lett. A. 1986. V. 119. N 2. P. 83—88.
- [10] Agranovich V. M., Dubovsky O. A., Orlov A. V. // Sol. St. Comm. 1989. V. 72. N 5. P. 491—496.
- [11] Дубовский О. А., Орлов А. В. // ФТЗ. 1987. Т. 20. № 11. С. 3501—3503.
- [12] Ораевский А. Н., Судаков М. Ю. // Препринт ФИАН. 1989. № 45. 41 с.
- [13] Dubovsky O. A. // Sol. St. Comm. 1985. V. 54. N 3. P. 261—266.
- [14] Могильнер А. И. // ЖЭТФ. 1989. Т. 96. № 5(11). С. 1828—1836.